

حَلْلَةِ الْفَضْلِ

وزارت علوم، تحقیقات و فناوری  
دانشگاه تحصیلات تکمیلی علوم پایه  
گوازنگ - زنجان



# بررسی اثر دی‌تیوترویتول و بتامرکاپتواتانول بر تشکیل تجمع‌های لیزوژیمی

پایان‌نامه کارشناسی ارشد

سمانه تسلیمی

استاد راهنما: دکتر سعید عمادی

۱۳۹۳ فروردین

تعددیم به

پدر و مادر دل سوزم

خواهران ناز ششم

برادر عزیزم

و

همسر فدا کارم

## مُشکر و قدردانی

سکر شایان نثار ایزد منان که توفیق رارفیق راهم ساخت تا این پایان نامه را به پایان برسانم.

از استاد فاضل و اندیشمندم جناب آقای دکتر سعید عادی بسیار سپاسگزارم چرا که بدون راهنمایی ایشان تامین این پایان نامه بسیار مشکل می‌بود.

از استادی محترم سرکار خانم هدایت کریمی حسنی و دکتر عطیه مهدوی و جناب آقای دکتر خسرو خلیفه به حاطر تقبل زحمت داوری این پایان نامه بسیار مشکرم.

از گروه شیمی تجزیه دانشگاه تحصیلات تکمیلی علوم پایه زنجان، مرکز تحقیقات یوژئی و یوفزیک دانشگاه تهران و دانشگاه فزیک دانشگاه صنعتی شریف به حاطر استفاده از تجهیزات آزمایشگاهی صمیمانه مشکر و قدردانی می‌کنم.

در پایان از تمامی دوستانم واعضاء محترم دانشگاه تحصیلات تکمیلی زنجان به حاطر همکاری بیدینع آنها جهت پیشبرداشتن پایان نامه سپاسگزارم.

## چکیده

امروزه مطالعه‌ی تشکیل تجمع‌های پروتئینی در مجتمع علمی به موضوع پراهمیتی تبدیل شده است. حداقل ۲۵ پروتئین انسانی می‌توانند رسوب‌های بیماری‌زا را که در بیماری‌های تخریب کننده سیستم عصبی دیده می‌شوند، ایجاد کنند. علی‌رغم مطالعات گسترده روی فیریلاسیون آمیلوئیدی، جزئیات مکانیزم مولکولی آن ناشناخته است. لیزوژیم انسانی یک پروتئین مستعد تشکیل آمیلوئید است که سویه‌های جهش یافته آن در بیماری آمیلوئیدوزیس سیستمی و راثی نقش مهمی دارند. از آنجا که لیزوژیم انسانی و سفیده تخم مرغ از نظر ساختار و توالی شباهت زیادی دارند، در این مطالعه از لیزوژیم سفیده تخم مرغ به عنوان مدل پروتئینی استفاده شد. در این پژوهه به بررسی اثر عوامل احیا کننده‌ای از قبیل دی‌تیوتیریتول و بتامرکاپتواتانول بر تجمع لیزوژیم با استفاده از سه روش طیف‌سنگی فلورسانس تایوفلاوین‌تی، دورنگ‌نمایی دورانی و میکروسکوپ نیروی اتمی پرداخته شد. ابتدا شرایط لازم برای تشکیل تجمع‌های پروتئینی لیزوژیم تأمین شد: دمای ۵۴ درجه سانتی‌گراد، pH ۲ و ۲۴ ساعت انکوباسیون همراه با تکان دادن (۱۵۰ دور در دقیقه). در مرحله دوم اثر دی‌تیوتیریتول و بتامرکاپتواتانول بر تجمع‌های لیزوژیمی تشکیل شده در شرایط استاندارد طی زمان‌های ۱، ۲، ۴ و ۸ ساعت پس از انکوباسیون بررسی شد. در بررسی اثر دی‌تیوتیریتول مشخص شد که با اضافه کردن آن به تجمع‌های لیزوژیمی، نشر فلورسانس کاهش می‌یابد که نشان دهنده کاهش تجمع‌های پروتئینی است و مقدار این کاهش در زمان ۸ ساعت بیشترین بود. اضافه کردن بتامرکاپتواتانول طی زمان‌های ۲، ۱ و ۴ ساعت سبب کاهش نشر فلورسانس شد ولی در زمان ۸ ساعت پس از انکوباسیون نشر فلورسانس افزایش یافت. در مرحله سوم با بررسی اثر دی‌تیوتیریتول و بتامرکاپتواتانول بر تجمع‌های لیزوژیمی تشکیل شده در حضور گوانیدین تیوسیانات مشخص شد که هر دو، سبب کاهش در نشر فلورسانس و در نتیجه کاهش در تجمع لیزوژیم شدند. در مرحله آخر، انکوباسیون همزمان دی‌تیوتیریتول و بتامرکاپتواتانول و سپس تشکیل تجمع پروتئینی نیز سبب کاهش نشر فلورسانس شدند. در این مطالعه مشخص شد که ترکیبات احیا کننده پیوند دی‌سولفید می‌توانند تحت شرایطی اثر کاهش دهنده بر تشکیل تجمع‌های پروتئینی داشته باشند و از این رو پیشنهاد می‌شود که این گونه ترکیب‌ها نیز در مطالعه‌های مربوط به طراحی دارو بر علیه بیماری‌های ناشی از تجمع‌های پیتیدی و پروتئینی در نظر گرفته شوند.

کلمات کلیدی: لیزوژیم، تجمع‌های پروتئینی، عوامل احیا کننده، دی‌تیوتیریتول، بتامرکاپتواتانول

## فهرست

| عنوان   | شماره صفحه |
|---|------------|
| فهرست شکل‌ها  | ج          |
| فهرست نمودارها  | د          |
| فهرست طیف‌ها  | ذ          |
| فهرست جدول‌ها   | ذ          |
| <b>فصل اول: مقدمه</b>   | ۱          |
| ۱. ساختار و عملکرد پروتئین  | ۱          |
| ۲. تاخوردهگی پروتئین  | ۳          |
| ۲.۱. تاریخچه تاخوردهگی پروتئین  | ۴          |
| ۲.۱.۱. اصول تاخوردهگی پروتئین   | ۷          |
| ۲.۱.۲. مکانیسم تاخوردهگی پروتئین  | ۷          |
| ۲.۱.۳. بدخوردهگی و تجمع پروتئین   | ۸          |
| ۲.۱.۳.۱. مکانیسم تشکیل تجمع‌های پروتئین                                       | ۱۱         |
| ۲.۱.۳.۱.۱. ساختار فیریل‌های آمیلوئیدی   | ۱۳         |
| ۲.۱.۳.۱.۲. تشکیل آمیلوئید از طریق مکانیزم رشد هسته‌ای                         | ۱۴         |
| ۲.۱.۳.۱.۳. تاخوردهگی پروتئین و تشکیل تجمع‌های پروتئینی فرآیندهای رقابتی هستند | ۱۶         |
| ۴. تجمع‌های آمیلوئیدی   | ۱۷         |
| ۵. بیماری‌های ناشی از نقص در پیکربندی پروتئین‌ها                              | ۱۷         |
| ۵.۱. آمیلوئیدی شدن سیستمی ارثی  | ۱۹         |
| ۶. بیماری‌های تخریب کننده‌ی سیستم عصبی  | ۲۰         |

|    |  |
|----|--|
| ۲۰ | ..... ۱.۶.۱ بیماری آلزایمر   |
| ۲۲ | ..... ۲.۶.۱ بیماری هانتینگتون  |
| ۲۳ | ..... ۳.۶.۱ بیماری پارکینسون   |
| ۲۳ | ..... ۴.۶.۱ بیماری اسکلروز آمیوتروفیک جانبی                          |
| ۲۳ | ..... ۷.۱ رهیافت سلول برای تنظیم کیفیت پروتئین                       |
| ۲۵ | ..... ۸.۱ پروتئین لیزوژیم  |
| ۲۶ | ..... ۱۸.۱ ساختار و عملکرد لیزوژیم سفیده تخم مرغ                     |
| ۲۸ | ..... ۲۸.۱ فیبریل‌های آمیلوئیدی لیزوژیم در محیط خارج سلولی           |
| ۲۹ | ..... ۳۸.۱ نواحی بسیار مستعد تشکیل آمیلوئید در لیزوژیم سفیده تخم مرغ |
| ۳۱ | ..... ۹.۱ عوامل محیطی مؤثر بر روند تجمع پروتئین                      |
| ۳۲ | ..... ۱۹.۱ اثر دما   |
| ۳۳ | ..... ۲۹.۱ اثر pH  |
| ۳۳ | ..... ۳۹.۱ اثر قدرت یونی   |
| ۳۴ | ..... ۴۹.۱ اثر تکان دادن   |
| ۳۴ | ..... ۵۹.۱ اثر دناتوره کننده‌ها                                      |
| ۳۴ | ..... ۱۵۹.۱ اوره   |
| ۳۵ | ..... ۲۵۹.۱ گوانیدین تیوسیانات                                       |
| ۳۶ | ..... ۱۰.۱ نقش پیوندهای دی سولفیدی در تاخوردگی و پایداری پروتئین     |
| ۳۸ | ..... ۱۱۰.۱ اثر عوامل احیا کننده بر تجمع پروتئین                     |
| ۳۸ | ..... ۱۱۰.۱ دی‌تیوتیریتول  |
| ۴۰ | ..... ۲۱۱۰.۱ بتامرکاپتواتانول  |
| ۴۱ | ..... ۱۱.۱ روش‌های مطالعه تشکیل تجمع‌های پروتئینی                    |
| ۴۱ | ..... ۱۱۱.۱ طیف سنجی فلورسانس با استفاده از تایوفلاوین تی (ThT)      |
| ۴۴ | ..... ۲۱۱.۱ طیف سنجی دورنگ نمایی دورانی (CD)                         |
| ۴۵ | ..... ۱۲۱۱.۱ طیف ماورای بنفش دور دورنگ نمایی دورانی (Far UV-CD)      |

|    |  |
|----|--|
| ۴۶ | ۲.۲.۱۱.۱ طیف ماورای بنفس نزدیک دورنگ نمایی دورانی (Near UV-CD)                                     |
| ۴۶ | ۳.۱.۱ میکروسکوپ نیروی اتمی (AFM)   |
| ۴۸ | <b>فصل دوم: مواد و روش‌ها</b>  |
| ۴۸ | ۱.۲ مواد   |
| ۴۹ | ۲.۲ دستگاه‌ها  |
| ۵۰ | ۳.۲ روش‌های تهیه محلول‌ها  |
| ۵۰ | ۱.۳.۲ محلول‌های بافری  |
| ۵۰ | ۲.۳.۲ محلول لیزوژیم  |
| ۵۱ | ۳.۳.۲ محلول تایو فلاوین تی   |
| ۵۱ | ۴.۳.۲ محلول لیزوژیم - گوانیدین تیوسیانات   |
| ۵۱ | ۵.۳.۲ محلول لیزوژیم - دی‌تیوتریتول   |
| ۵۱ | ۶.۳.۲ محلول لیزوژیم - بتامر کاپتواتانول  |
| ۵۱ | ۷.۳.۲ دیالیز   |
| ۵۲ | ۴.۲ روش‌های مطالعه‌ی تجمع‌های پروتئینی   |
| ۵۲ | ۱.۴.۲ آماده‌سازی لیزوژیم جهت تشکیل تجمع‌های پروتئینی   |
| ۵۲ | ۲.۴.۲ بررسی اثر دی‌تیوتریتول بر تجمع لیزوژیم   |
| ۵۳ | ۳.۴.۲ بررسی اثر بتامر کاپتواتانول بر تجمع لیزوژیم  |
| ۵۳ | ۴.۴.۲ بررسی اثر دی‌تیوتریتول و بتامر کاپتواتانول بر تجمع لیزوژیم تشکیل شده توسط گوانیدین تیوسیانات |
| ۵۴ | ۵.۲ روش‌های آشکارسازی تجمع‌های آمیلوئیدی   |
| ۵۴ | ۱.۵.۲ آماده‌سازی نمونه‌ها برای طیف سنجی فلورسانس   |
| ۵۴ | ۲.۵.۲ آماده‌سازی نمونه‌ها برای طیف سنجی دورنگ نمایی دورانی   |
| ۵۵ | ۳.۵.۲ آماده‌سازی نمونه‌ها برای تهیی عکس میکروسکوپ نیروی اتمی                                       |
| ۵۶ | <b>فصل سوم: نتیجه گیری و بحث</b>   |
| ۵۶ | ۱.۳ تشکیل تجمع‌های پروتئینی توسط لیزوژیم در شرایط استاندارد  |
| ۵۷ | ۱.۱.۳ بررسی نتایج به دست آمده از طیف سنجی فلورسانس در حضور تایوفلاوین تی                           |

|  |    |
|--|----|
| ۲.۱.۳ نتایج به دست آمده از طیف سنجی دورنگ نمایی دورانی.....  | ۵۸ |
| ۳.۱.۳ نتیجه های میکروسکوپ نیروی اتمی.....  | ۶۰ |
| ۴.۱.۳ نتیجه گیری.....  | ۶۳ |
| ۲.۳ بررسی اثر دی تیوتريتول و بتامر کاپتواتانول بر تجمع های لیزوژیمی تشکیل شده در شرایط استاندارد                 | ۶۳ |
| ۱.۲.۳ دی تیوتريتول.....  | ۶۳ |
| ۱.۱.۲.۳ نتیجه های طیف سنجی فلورسانس در حضور تایوفلاوین تی.....   | ۶۳ |
| ۲.۱.۲.۳ نتیجه های طیف سنجی دورنگ نمایی دورانی.....   | ۶۵ |
| ۳.۱.۲.۳ نتیجه های میکروسکوپ نیروی اتمی.....  | ۶۶ |
| ۴.۱.۲.۳ نتیجه گیری.....  | ۶۸ |
| ۲.۲.۳ بتامر کاپتواتانول.....   | ۶۹ |
| ۱.۲.۲.۳ نتیجه های طیف سنجی فلورسانس در حضور تایوفلاوین تی.....   | ۶۹ |
| ۲.۲.۲.۳ نتیجه های طیف سنجی دورنگ نمایی دورانی.....   | ۷۱ |
| ۳.۲.۲.۳ نتیجه های میکروسکوپ نیروی اتمی.....  | ۷۲ |
| ۴.۲.۲.۳ نتیجه گیری.....  | ۷۵ |
| ۳.۳ بررسی اثر دی تیوتريتول و بتامر کاپتواتانول بر تجمع های لیزوژیمی تشکیل شده در حضور گوانیدین تیوسیانات.....    | ۷۶ |
| ۱.۳.۳ گوانیدین تیوسیانات.....  | ۷۶ |
| ۱.۱.۳.۳ نتیجه های طیف سنجی فلورسانس در حضور تایوفلاوین تی.....   | ۷۶ |
| ۲.۳.۳ اثر دی تیوتريتول و بتامر کاپتواتانول.....  | ۷۸ |
| ۱.۲.۳.۳ نتیجه های طیف سنجی فلورسانس در حضور تایوفلاوین تی.....   | ۷۸ |
| ۲.۲.۳.۳ نتیجه های طیف سنجی دورنگ نمایی دورانی.....   | ۸۰ |
| ۳.۲.۳.۳ نتیجه های میکروسکوپ نیروی اتمی.....  | ۸۰ |
| ۴.۲.۳.۳ نتیجه گیری.....  | ۸۳ |
| ۴.۳ انکوباسیون لیزوژیم با دی تیوتريتول و بتامر کاپتواتانول و سپس تشکیل تجمع های پروتئینی در شرایط استاندارد..... | ۸۴ |
| ۱.۴.۳ نتیجه های طیف سنجی فلورسانس در حضور تایوفلاوین تی.....   | ۸۴ |
| ۲.۴.۳ نتیجه های طیف سنجی دورنگ نمایی دورانی.....   | ۸۶ |

|     |   |
|-----|---|
| ۸۷  | ۳.۴.۳ نتیجه‌های میکروسکوپ نیروی اتمی..... |
| ۸۸  | ۴.۳.۴.۳ نتیجه گیری.....                   |
| ۸۹  | ۵.۳ نتیجه گیری نهایی.....                 |
| ۹۰  | ۶.۳ مطالعات آینده .....                   |
| ۹۱  | مراجع.....                                |
| ۱۰۱ | واژه‌نامه فارسی به انگلیسی.....           |
| ۱۰۸ | واژه‌نامه انگلیسی به فارسی.....           |

## شکل‌ها

|  |            |
|--|------------|
| عنوان  | شماره صفحه |
| شکل ۱-۱ نقش چاپرون‌های مولکولی در تاخور دگی پروتئین.....   | ۳          |
| شکل ۲-۱ دوباره تاخور دگی ریبونوکلئاز طبیعی گاوی.....   | ۵          |
| شکل ۳-۱ ساختارهای فیبریلی، مدل و اجزای آن‌ها.....  | ۱۰         |
| شکل ۴-۱ مراحل مختلف فرآیند تجمع پروتئین.....   | ۱۲         |
| شکل ۵-۱ سیستیک پلی مریزاسیون هسته و الگوی تشکیل فیبریل‌های آمیلوئیدی از طریق هسته‌ای شدن               | ۱۵         |
| شکل ۶-۱ یک مدل ساده از تبدیل پیکربندی در پروتئین‌هایی که منجر به تشکیل گونه‌های بیماری‌زا می‌شوند..... | ۱۹         |
| شکل ۷-۱ راهکارهای سلول در هموستازی پروتئین.....  | ۲۴         |
| شکل ۸-۱ قسمتی از پپتیدوگلیکان دیواره سلولی سلول‌های باکتریابی و محل اثر آنزیم لیزوزیم.....             | ۲۵         |
| شکل ۹-۱ نمایش ساختار سه بعدی لیزوزیم سفیده تخم مرغ.....  | ۲۷         |
| شکل ۱۰-۱ ساختار دوم لیزوزیم.....   | ۲۷         |
| شکل ۱۱-۱ ارتباط بین دما و پایداری ترمودینامیکی پروتئین.....  | ۳۲         |
| شکل ۱۲-۱ ساختار اوره.....  | ۳۵         |
| شکل ۱۳-۱ ساختار گوانیدین تیوسیانات.....  | ۳۵         |
| شکل ۱۴-۱ ساختار لیزوزیم سفیده تخم مرغ که در آن موقعیت چهار پیوند دی سولفیدی نشان داده شده است.....     | ۳۷         |

|    |  |
|----|--|
| ۳۹ | ..... شکل ۱۵-۱ ساختار دی‌تیو‌تریتول.   |
| ۳۹ | ..... شکل ۱۶-۱ مکانیزم کلی واکنش کاهش پیوند دی‌سولفیدی توسط دی‌تیو‌تریتول.   |
| ۴۰ | ..... شکل ۱۷-۱ ساختار بتامرکاپتواتانول.  |
| ۴۰ | ..... شکل ۱۸-۱ مکانیزم عمل بتامرکاپتواتانول برای شکستن پیوند دی‌سولفیدی.   |
| ۴۳ | ..... شکل ۱۹-۱ روش‌های متداول آزمایشگاهی با استفاده از تایوفلاوین تی.  |
| ۴۴ | ..... شکل ۲۰-۱ اجزا دایره‌ای راست گرد (R) و چپ گرد (L) نور قطبی شده صفحه‌ای.   |
| ۴۵ | ..... شکل ۲۱-۱ طیف ماورای بنفس دور CD همراه با انواع مختلف ساختار دوم در پروتئین‌ها.   |
| ۴۷ | ..... شکل ۲۲-۱ اساس میکروسکوپ نیروی اتمی و اجزا مختلف آن.  |
| ۶۰ | ..... شکل ۱-۳ تصویرهای AFM نمونه لیزوژیم با غلظت ۰/۵ میلی‌گرم بر میلی‌لیتر در شرایط C ۵۴۰ و pH ۲   |
| ۶۱ | ..... شکل ۲-۳ تصویرهای AFM نمونه لیزوژیم با غلظت ۰/۳ میلی‌گرم بر میلی‌لیتر در شرایط C ۵۴۰ و pH ۲   |
| ۶۱ | ..... شکل ۳-۳ تصویرهای AFM نمونه لیزوژیم با غلظت ۰/۱ میلی‌گرم بر میلی‌لیتر در شرایط C ۵۴۰ و pH ۲   |
| ۶۲ | ..... شکل ۴-۳ تصویرهای AFM نمونه لیزوژیم در شرایط C ۵۴۰ و pH ۷   |
| ۶۷ | ..... شکل ۵-۳ تصویرهای AFM نمونه لیزوژیم با غلظت ۰/۱ میلی‌گرم بر میلی‌لیتر (ابتدا ۲۴ ساعت انکوباسیون در شرایط C ۵۴۰ و pH ۲) پس از ۱ ساعت انکوباسیون با دی‌تیو‌تریتول با غلظت ۰/۱ میلی‌مولار. |
| ۶۷ | ..... شکل ۶-۳ تصویرهای AFM نمونه لیزوژیم با غلظت ۰/۱ میلی‌گرم بر میلی‌لیتر (ابتدا ۲۴ ساعت انکوباسیون در شرایط C ۵۴۰ و pH ۲) پس از ۲ ساعت انکوباسیون با دی‌تیو‌تریتول با غلظت ۰/۱ میلی‌مولار. |
| ۶۷ | ..... شکل ۷-۳ تصویرهای AFM نمونه لیزوژیم با غلظت ۰/۱ میلی‌گرم بر میلی‌لیتر (ابتدا ۲۴ ساعت انکوباسیون در شرایط C ۵۴۰ و pH ۲) پس از ۸ ساعت انکوباسیون با دی‌تیو‌تریتول با غلظت ۰/۱ میلی‌مولار. |
| ۷۲ | ..... شکل ۸-۳ تصویرهای AFM نمونه لیزوژیم پس از ۲۴ ساعت انکوباسیون با بتامرکاپتواتانول با غلظت ۰/۱ میلی‌گرم بر میلی‌لیتر در شرایط C ۵۴۰ و pH ۲  |
| ۷۲ | ..... شکل ۹-۳ تصویرهای AFM نمونه لیزوژیم (ابتدا ۲۴ ساعت انکوباسیون در شرایط C ۵۴۰ و pH ۲) پس از ۱ ساعت انکوباسیون با بتامرکاپتواتانول با غلظت ۰/۱ میلی‌مولار.                                |

شکل ۱۰-۳ تصویرهای AFM نمونه لیزوزیم (ابتدا ۲۴ ساعت انکوباسیون در شرایط  $54^{\circ}\text{C}$  و  $\text{pH } 2$

پس از ۲ ساعت انکوباسیون با بتا مرا کاپتو اتانول با غلظت  $1/0$  میلی مولار.....  
۷۲

شکل ۱۱-۳ تصویرهای AFM نمونه لیزوزیم (ابتدا ۲۴ ساعت انکوباسیون در شرایط  $54^{\circ}\text{C}$  و  $\text{pH } 2$

پس از ۸ ساعت انکوباسیون با بتامرا کاپتو اتانول با غلظت  $1/0$  میلی مولار.....  
۷۳

شکل ۱۲-۳ تصویرهای AFM نمونه لیزوزیم پس از ۲۴ ساعت انکوباسیون حاوی گوانیدین تیوسیانات

۲ مولار.....  
۸۱

شکل ۱۳-۳ تصویرهای AFM نمونه لیزوزیم (ابتدا ۲۴ ساعت انکوباسیون با گوانیدین تیوسیانات) پس

از ۲۴ ساعت انکوباسیون حاوی دیتیوتریتول با غلظت  $1/0$  میلی مولار در دمای  $25^{\circ}\text{C}$ .....  
۸۱

شکل ۱۴-۳ تصویرهای AFM نمونه لیزوزیم (ابتدا ۲۴ ساعت انکوباسیون با گوانیدین تیوسیانات) پس

از ۲۴ ساعت انکوباسیون حاوی بتامرا کاپتو اتانول با غلظت  $1/0$  میلی مولار در دمای  $25^{\circ}\text{C}$ .....  
۸۲

شکل ۱۵-۳ تصویرهای AFM نمونه لیزوزیم که ابتدا ۲۴ ساعت در شرایط  $25^{\circ}\text{C}$  و  $\text{pH } 7$  و سپس

ساعت دیگر در شرایط  $54^{\circ}\text{C}$  و  $\text{pH } 2$  انکوبه شدند.....  
۸۷

شکل ۱۶-۳ تصویرهای AFM نمونه لیزوزیم حاوی دیتیوتریتول که ابتدا ۲۴ ساعت در شرایط  $25^{\circ}\text{C}$  و

$\text{pH } 7$  و سپس ۲۴ ساعت دیگر در شرایط  $54^{\circ}\text{C}$  و  $\text{pH } 2$  انکوبه شدند.....  
۸۷

شکل ۱۷-۳ تصویرهای AFM نمونه لیزوزیم حاوی بتامرا کاپتو اتانول که ابتدا ۲۴ ساعت در شرایط  $25^{\circ}\text{C}$

و  $\text{pH } 7$  و سپس ۲۴ ساعت دیگر در شرایط  $54^{\circ}\text{C}$  و  $\text{pH } 2$  انکوبه شدند.....  
۸۸

## نمودارها

عنوان  
شماره صفحه

نمودار ۱-۳ افزایش چشمگیر نشر فلورسانس در نمونه لیزوزیم انکوبه شده در شرایط مورد نیاز برای

تشکیل تجمعهای پروتئینی در مقایسه با نمونه‌های شاهد لیزوزیم.....  
۵۸

نمودار ۲-۳ اثر زمان‌های مختلف انکوباسیون با دیتیوتریتول بر تجمع لیزوزیم.....  
۶۴

نمودار ۳-۳ اثر زمان‌های مختلف انکوباسیون با بتامرا کاپتو اتانول بر تجمع لیزوزیم.....  
۷۰

نمودار ۴-۳ اثر گوانیدین تیوسیانات بر تجمع پذیری لیزوزیم.....  
۷۸

نمودار ۵-۳ اثر دیتیوتریتول و بتامرا کاپتو اتانول بر تجمعهای تشکیل شده توسط گوانیدین تیوسیانات.....  
۷۹

نمودار ۶-۳ ساعت انکوباسیون دیتیوتریتول و بتامرا کاپتو اتانول با لیزوزیم و سپس تشکیل تجمعهای

لیزوزیمی و بررسی اثر دی‌تیوتیریتول و بتامرکاپتواتانول روی این تجمع‌ها ..... ۸۴

## طیف‌ها

| عنوان  | شماره صفحه |
|--|------------|
| طیف ۱-۳ افزایش نشر فلورسانس در نمونه لیزوزیم انکوبه شده در شرایط مورد نیاز برای تشکیل تجمع‌های پروتئینی در مقایسه با نمونه‌های شاهد..... ۵۷  |            |
| طیف ۲-۳ طیف‌های CD مربوط به نمونه‌های شاهد لیزوزیم در ۷ pH و ۲ pH و نمونه لیزوزیم انکوبه شده در شرایط مورد نیاز برای تشکیل تجمع‌های پروتئینی..... ۵۹   |            |
| طیف ۳-۳ طیف‌های CD مربوط به اثر دی‌تیوتیریتول در زمان‌های مختلف بر تشکیل تجمع‌های پروتئینی لیزوزیم..... ۶۶   |            |
| طیف ۴-۳ طیف‌های CD مربوط به اثر بتامرکاپتواتانول در زمان‌های مختلف بر تشکیل تجمع‌های پروتئینی لیزوزیم..... ۷۱  |            |
| طیف ۵-۳ طیف‌های CD مربوط به اثر دی‌تیوتیریتول و بتامرکاپتواتانول بر تجمع‌های تشکیل شده توسط گوانیدین تیوسیانات..... ۸۰   |            |
| طیف (۶-۳) طیف‌های CD مربوط به اثر دی‌تیوتیریتول و بتامرکاپتواتانول در شرایط ۲۴ ساعت انکوباسیون همراه با لیزوزیم و سپس رساندن به شرایط استاندارد تشکیل تجمع (C <sup>۵۴۰</sup> و ۲ pH) و ۲۴ ساعت انکوباسیون مجدد..... ۸۶ |            |

## جدول‌ها

| عنوان  | شماره صفحه |
|--|------------|
| جدول ۱-۱ انواع آمیلوئیدی شدن سیستمی..... ۲۱        |            |
| جدول ۱-۲ مواد زیستی و شیمیایی مورد استفاده..... ۴۸ |            |

|    |   |
|----|---|
| ۴۹ | جدول ۲-۲ مشخصات دستگاه‌ها   |
| ۶۰ | جدول ۱-۳ درصد مارپیچ آلفا در ۲۰۸ و ۲۲۲ نانومتر در نمونه‌های شاهد لیزوزیم در pH ۷ و pH ۲                                       |
| ۶۲ | جدول ۲-۳ ابعاد تجمع‌های لیزوزیم در شرایط مختلف در غیاب عوامل احیا کننده   |
| ۶۵ | جدول ۳-۳ درصد کاهش نشر فلورسانس در نمونه‌های انکوبه شده با دی‌تیوتیریتول  |
| ۶۸ | جدول ۴-۳ ابعاد تجمع‌های پروتئینی در نمونه‌های انکوبه شده با دی‌تیوتیریتول   |
| ۷۱ | جدول ۵-۳ درصد تغییرات نشر فلورسانس در نمونه‌های انکوبه شده با بتامرکاپتواتانول  |
| ۷۵ | جدول ۶-۳ ابعاد تجمع‌های پروتئینی در نمونه‌های انکوبه شده با بتامرکاپتواتانول  |
| ۷۹ | جدول ۷-۳ درصد کاهش نشر فلورسانس در تجمع‌های پروتئینی تشکیل شده در حضور گوانیدین تیوسیانات و سپس انکوباسیون با دی‌تیوتیریتول   |
| ۸۲ | جدول ۸-۳ ابعاد تجمع‌های پروتئینی تشکیل شده در حضور گوانیدین تیوسیانات و سپس انکوباسیون با دی‌تیوتیریتول و یا بتامرکاپتواتانول |
| ۸۵ | جدول ۹-۳ درصد کاهش نشر فلورسانس در نمونه‌های دارای دی‌تیوتیریتول و یا بتامرکاپتواتانول  |
| ۸۶ | جدول ۱۰-۳ ابعاد تجمع‌های پروتئینی در نمونه‌های دارای دی‌تیوتیریتول و یا بتامرکاپتواتانول                                      |

# فصل اول

## مقدمه

### ۱.۱ ساختار و عملکرد پروتئین

پروتئین‌ها ساختارهای پلیمری از اسیدهای آمینه هستند و سه سطح ساختاری اول<sup>۱</sup>، دوم<sup>۲</sup> و سوم<sup>۳</sup> در آن‌ها قابل تشخیص است. برخی از پروتئین‌ها که حداقل باید از دو زنجیر پلی پپتیدی تشکیل شده باشند دارای یک سطح ساختاری چهارم نیز هستند که نحوه قرار گرفتن زیرواحدهای پلی پپتیدی را در پروتئین مزبور نشان می‌دهد.

پیش‌بینی ساختار دوم پروتئین‌ها گام مهمی برای پیش‌بینی ساختار سوم آنها است [۱-۳]. پائولینگ<sup>۴</sup> و همکاران [۴] اولین کسانی بودند که با مطالعه‌های بلور سنگی وجود ساختارهای دوم را در پروتئین-ها نشان دادند [۳].

ساختار سوم پروتئین‌ها به تاخوردگی سوم یک پروتئین اشاره دارد. پایداری ساختار سوم شامل میان کنش بین اسید آمینه‌هایی می‌باشد که در توالی اولیه به صورت کاملاً جدا قرار گرفته‌اند. این میان کنش‌ها شامل موارد ذیل می‌باشند: میان کنش‌های ضعیف مانند پیوندهای هیدروژنی<sup>۵</sup> و همچنین میان کنش‌های واندروالس<sup>۶</sup>، پیوندهای یونی<sup>۷</sup> شامل گروههای زنجیره جانبی اسید آمینه‌های باردار مثبت و منفی و همچنین پیوندهای دی سولفیدی<sup>۸</sup> که پیوندهای کووالانسی<sup>۹</sup> هستند که از طریق اکسید شدن

<sup>1</sup> Primary structure

<sup>2</sup> Secondary structure

<sup>3</sup> Tertiary structure

<sup>4</sup> Linus Pauling

<sup>5</sup> Hydrogen bonds

<sup>6</sup> Van der Waals interactions

<sup>7</sup> Ionic bonds

<sup>8</sup> Disulfide bonds

<sup>9</sup> Covalent bonds

گروه‌های تیول<sup>۱</sup> دو باقی‌مانده سیستئین<sup>۲</sup> تشکیل می‌شوند. میان کنش با حلال آبی به عنوان اثر آب - گریز<sup>۳</sup> نامیده می‌شود که منجر به مدفعون شدن باقی‌مانده‌هایی با زنجیره‌های جانبی غیرقطبی در بخش درونی پروتئین می‌شود. بر عکس، زنجیره‌های جانبی اسید آمینه‌های قطبی تمایل به قرار گرفتن در سطح پروتئین دارند که در دسترس محیط آبی باشند.

پروتئین‌ها و پپتیدها ترکیب‌های اصلی سلول هستند که به ارگانیسم‌ها اجازه می‌دهند اعمال حیاتی، از طریق میان کنش در شبکه‌های مولکولی پیچیده اجرا شوند [۵]. پروتئین‌هایی که درون یک سلول ساخته می‌شوند پروتئوم<sup>۴</sup> آن را تشکیل می‌دهند. این مولکول‌های پروتئینی تقریباً مسئول تمام اعمال زیستی سلول هستند. اینکه چگونه پروتئین‌ها تکامل یافته‌اند همواره یکی از مسائل شگفت انگیز در علم زیست شناسی بوده است [۶]. فرآیند تاخورده‌گی در داخل سلول<sup>۵</sup> و یا در درون لوله آزمایش<sup>۶</sup>، به پروتئین‌های دیگری نیز نیاز دارد که چاپرون‌های مولکولی<sup>۷</sup> نام دارند. چاپرون‌ها پروتئین‌های اختصاصی هستند که پروتئین‌های تاخورده را از پروتئین‌های بداخلورده<sup>۸</sup> و تجمع یافته، در محیط بسیار شلوغ سلولی محافظت می‌کنند [۷]. چاپرون مولکولی، پروتئینی است که با پروتئین غیرطبیعی<sup>۹</sup> میان کنش و به پایداری آن کمک می‌کند تا پیکربندی طبیعی خود را به دست آورد شکل (۱-۱).

پروتئین تازه تولید شده، زمان خروج از ریبوزوم به چاپرون متصل می‌شود و این سبب تاخورده‌گی مناسب پروتئین می‌شود. بعد از تاخورده‌گی، چاپرون‌ها از پلی پپتیدی که حال دارای ساختار طبیعی است جدا می‌شوند. از جمله‌ی چاپرون‌ها می‌توان به پروتئین شوک حرارتی<sup>۱۰</sup> و چاپرونین<sup>۱۱</sup> اشاره کرد. با وجود همه این مکانیزم‌ها پروتئین‌ها همیشه به‌طور صحیح تا نمی‌خورند [۸].

<sup>1</sup> Thiol group

<sup>2</sup> Cysteine residue

<sup>3</sup> Hydrophobic effect

<sup>4</sup> Proteome

<sup>5</sup> *In vivo*

<sup>6</sup> *In vitro*

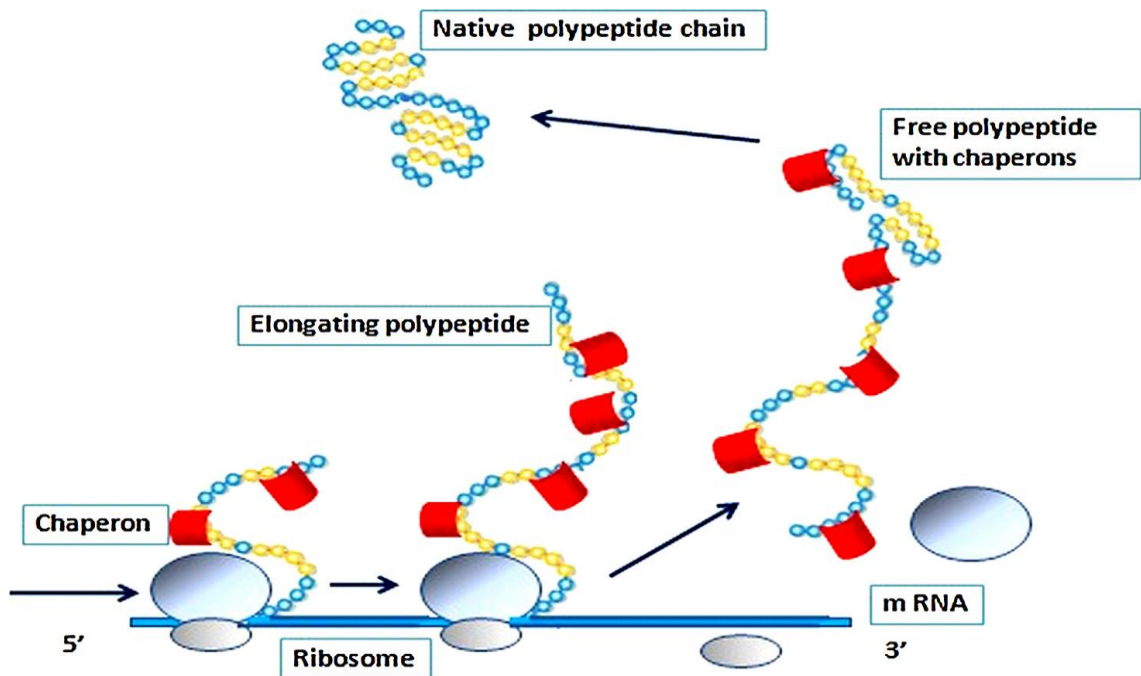
<sup>7</sup> Molecular chaperones

<sup>8</sup> Misfolded

<sup>9</sup> Non-native

<sup>10</sup> Heat-shock protein

<sup>11</sup> Chaperonin



شکل (۱-۱) نقش چاپرون‌های مولکولی در تاخورده‌گی پروتئین. پروتئین تازه تولید شده هنگامی که از ریبوزوم خارج می‌شود به چاپرون متصل می‌شود و این کار به تاخورده‌گی مناسب پروتئین کمک می‌کند. بعد از تاخورده‌گی، چاپرون‌ها از پلیپپتیدی که دارای ساختار طبیعی است جدا می‌شوند [۸].

## ۲.۱ تاخورده‌گی پروتئین<sup>۱</sup>

تاخورده‌گی پروتئین تحت شرایط فیزیولوژیکی مناسب، فرآیندی خودبه‌خودی<sup>۲</sup> است و غالباً توسط توالی اسید آمینه پروتئین تعیین می‌شود. تاخوردن پروتئین به حالت طبیعی، نقش حیاتی در بیان اطلاعات ژنتیکی دارد. تاخورده‌گی پروتئین‌ها که منجر به شکل سه‌بعدی خاص آن‌ها می‌شود، یکی از اساسی‌ترین و عمومی‌ترین مثال‌های خود تجمعی<sup>۳</sup> است.

مشخص کردن فرآیندی که از طریق آن تاخورده‌گی پروتئین اتفاق می‌افتد، یکی از چالش‌های بزرگ در بیوشیمی و علوم سلولی مولکولی است. بنا بر آن چه اشاره شد، در سلول فرآیند شکل گیری ساختار طبیعی و فعال پروتئین‌ها تحت بررسی هستند و اگر فرآیند تاخورده‌گی دچار نقص شود سلول یا از تشکیل محصول‌های بدتاخورده، قبل از اینکه باعث هرگونه ضرری شوند، جلوگیری می‌کند و یا پس از تشکیل آن‌ها را تخریب می‌کند. در مواقعی که این مکانیزم‌ها کارآیی کافی نداشته باشند،

<sup>1</sup> Protein folding

<sup>2</sup> Spontaneous process

<sup>3</sup> Self-assembly

پروتئین‌ها مستعد به تشکیل تجمع خواهند بود و تشکیل تجمع‌های پروتئینی و پیتیدی می‌تواند با مکانیسم‌های مختلف به سلول‌ها صدمه زده یا باعث کشته شدن آن‌ها شود.

## ۱.۲.۱ تاریخچه تاخورده‌گی پروتئین

مطالعه در باب تاخورده‌گی پروتئین به بیش از نیم قرن پیش و به کارهای آنسون<sup>۱</sup> و میرسکی<sup>۲</sup> بر می‌گردد [۹]. آن‌ها مشاهده کردند که غیرطبیعی شدن (دناتوره) پروتئین<sup>۳</sup> فرآیندی برگشت پذیر<sup>۴</sup> است. سپس میرسکی و پائولینگ دریافتند که پروتئین طبیعی ساختار مشخص و ویژه‌ای دارد و تحت شرایط غیرطبیعی شدن از دست می‌رود [۱۰]. این مشاهدات سرانجام به کارهای تجربی بسیار روشنگر انفینسن<sup>۵</sup> و همکارانش بر روی ریبونوکلئاز آ<sup>۶</sup> ختم شد [۱۱].

آن‌ها مشاهده کردند که ریبونوکلئاز غیرطبیعی شده که تحت شرایط کاهش<sup>۷</sup> قرار داشت، به طور خود به خود و با تجدید کامل فعالیت آنزیمی دوباره طبیعی<sup>۸</sup> و چهار پیوند دی سولفیدی آن به شکل طبیعی تشکیل می‌شد.

آزمایش انفینسن و همکاران در شکل (۲-۱) نشان داده شده است. ابتدا ریبونوکلئاز گاوی طبیعی<sup>۹</sup> توسط اوره<sup>۱۰</sup> ۸ مولار و تحت شرایط کاهش (با استفاده از ۲-مرکاپتواتانول<sup>۱۱</sup>) دناטורه شد. پس از خروج عوامل دناטורه کننده از محیط، آن‌ها مشاهده کردند که ریبونوکلئاز پس از مدت زمانی پیکربندی طبیعی خود را دوباره بازیافت. آن‌ها همچنین دریافتند در حضور اوره و در نبود مرکاپتواتانول مخلوط درهمی<sup>۱۲</sup> از ایزومرهای<sup>۱۳</sup> دی سولفید بدترخورده می‌شود. متعاقباً با حذف کردن

<sup>1</sup> Anson

<sup>2</sup> Mirsky

<sup>3</sup> Protein denaturation

<sup>4</sup> Reversible

<sup>5</sup> Anfinsen

<sup>6</sup> Ribonuclease A

<sup>7</sup> Reduction

<sup>8</sup> Renature

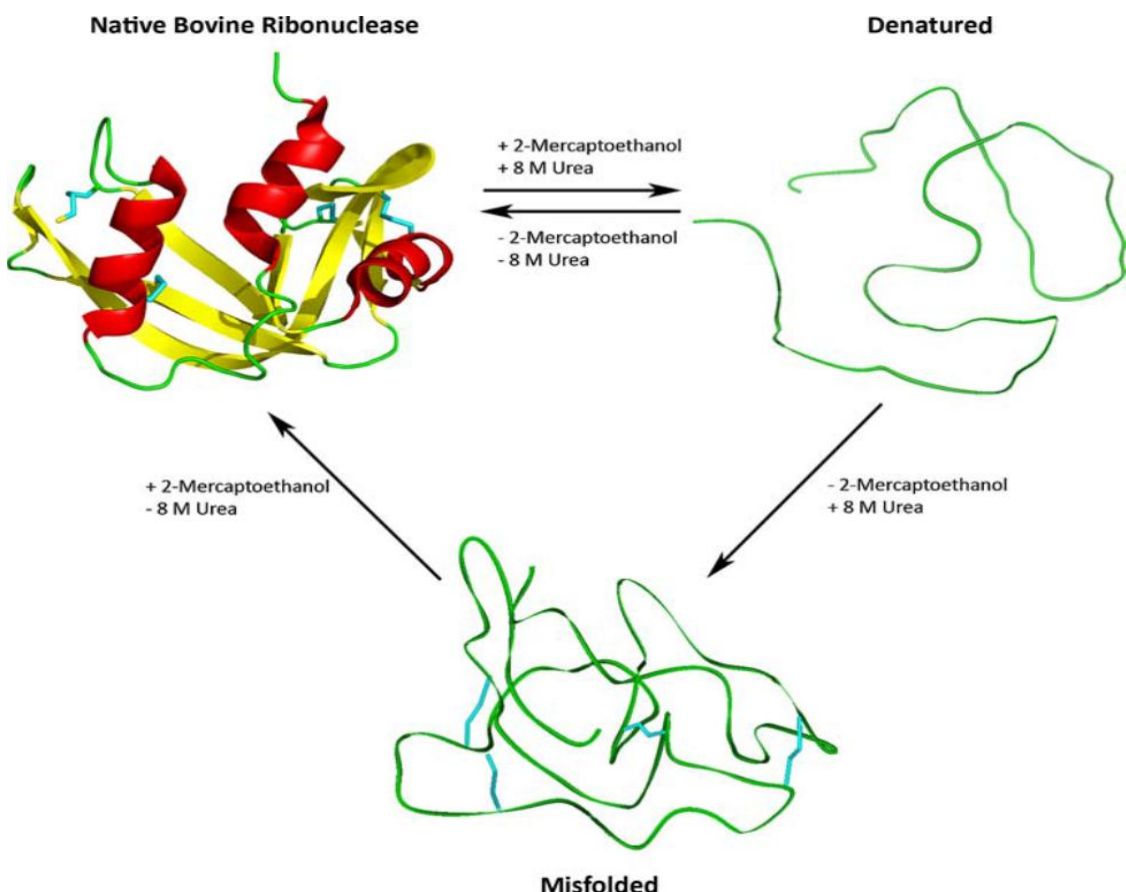
<sup>9</sup> Native Bovine Ribonuclease

<sup>10</sup> Urea

<sup>11</sup> 2-Mercaptoethanol

<sup>12</sup> Scrambled mixture

<sup>13</sup> Isomer



شکل (۲-۱) دوباره تاخورده‌گی ریبونوکلئاز طبیعی گاوی. ریبونوکلئاز طبیعی گاوی که توسط اوره ۸ مولار و ۲-مرکاپتواتانول دناتوره شده است، هنگامی که عوامل دناتوره کننده برداشته شوند، به طور خود به خودی دوباره به پیکربندی طبیعی تا می‌خورد. اکسیداسیون پلی پپتیدی که به طور کامل دناتوره شده است در حضور اوره ۸ مولار و در نبود ۲-مرکاپتواتانول منجر به تولید مخلوط درهمی از ایزومرهای دی‌سولفید بدتاخورده می‌شود. با حذف اوره و اضافه کردن ۲-مرکاپتواتانول بازآرایی دی‌سولفیدی پروتئین بد تاخورده به پیکربندی طبیعی آن برمی‌گردد و فعالیت کامل آنزیمی حاصل می‌شود [۸].

اوره و در حضور ۲-مرکاپتواتانول بازآرایی دی‌سولفیدی پروتئین بد تاخورده اتفاق افتاد و پیکربندی طبیعی ریبونوکلئاز و بازگشت فعالیت کامل آنزیمی حاصل شد.

انفینسن نشان داد که یک پروتئین کروی<sup>۱</sup> قادر به تاخورده‌گی خود به خودی در لوله آزمایش می‌باشد که این امر به طور کامل بستگی به توالی اسید آمینه آن در محیط مفروض دارد. تاخورده‌گی پروتئین

<sup>۱</sup> Globular protein

در لوله آزمایش، بارزترین نمونه از خودسازماندهی<sup>۱</sup> است. جالب آنکه در این مثال کلاسیک هیچ مولکول زیستی دیگری برای تاخوردن طبیعی زنجیره پلی پیتیدی لازم نیست [۸].

تاخوردگی پروتئین هنوز یکی از اساسی‌ترین و پرمزترین مسئله‌های زیست شناسی ساختاری است. علی‌رغم پیشرفت‌های چند دهه اخیر، هنوز معماً تاخوردگی پروتئین یکی از مهم‌ترین و بلکه مهم‌ترین چالش بیوشیمیایی است. سؤال اساسی این است که نیروهایی که یک زنجیره پلی پیتیدی را به سمت ساختارهای خاصی، از میان بی‌نهایت ساختارهای ممکن، هدایت می‌کنند کدام‌اند و چگونه عمل می‌کنند؟ در مورد چگونگی تحقق تاخوردگی پروتئین دو نظریه مشهور وجود دارد: نظریه انفینسن و همکارانش که متعاقب تحقیق بر روی تاخوردگی ریبونوکلئاز آغاز شد و دیگری تنافق لوبینتال<sup>۲</sup> که توسط سایپراس لوینتال<sup>۳</sup> مطرح شد [۱۲].

همان‌طور که گفته شد، انفینسن و همکارانش نشان دادند که ریبونوکلئاز آ می‌تواند به صورت خود به خود و تحت شرایط خارج سلولی، یعنی در لوله آزمایش، ساختار طبیعی خود را باز یابد. این مشاهده‌ها منجر به طرح سوال بعدی شد: آیا این ساختار طبیعی بنا بر ضرورت با جستجوی تصادفی ساختارهای بسیار متنوعی که به طور بالقوه می‌تواند تحقق یابد به دست می‌آید؟

در سال ۱۹۶۹ لوبینتال این گونه بیان کرد که در صورت قبول نقشی برای تصادف، این جستجو مدت زمانی بسیار طولانی طول خواهد کشید. به عنوان مثال پروتئینی با صد باقی‌مانده، در صورتی که رسیدن به هر ساختار و عدم مطلوبیت آن از نظر حداقل انرژی فقط  $10^{-11}$  ثانیه طول بکشد،  $10^{52}$  سال برای رسیدن به ساختاری با بیشترین پایداری و حداقل انرژی نیاز خواهد داشت!

این به شدت در تضاد است با مقیاس زمانی میلی ثانیه‌ای که یک پروتئین به طور معمول در طی آن به ساختار طبیعی خود تا می‌خورد. او نتیجه گرفت که جستجوهای تصادفی روش مؤثری برای یافتن حالت تاخورده صحیح پروتئین نیستند. این نظریه بعدها به عنوان "تنافق لوبینتال" شناخته شد.

بنابراین مشخص است که حدواتسطه‌های تاخوردگی یا مسیرهایی وجود دارند که از طریق آن‌ها پروتئین‌های در حال شکل‌گیری سریع‌تر به ساختار طبیعی می‌رسند. از آن زمان تا کنون پیشرفت‌های

<sup>1</sup> Self-organization

<sup>2</sup> Levinthal Paradox

<sup>3</sup> Cyprus Levinthal